

## تقييم فعالية التثقب العظمي الأصغرى في إنقاص الزمن اللازم لعلاج ازدحام القواطع السفلية المعالجة بالراصفات الشفافة

\*أ.د. رباب عادل الصباغ\*

زها غيث البزم\*

(الإيداع: 25 آذار 2024 ، القبول: 30 حزيران 2024)

الملخص:

يهدف البحث إلى تقييم فعالية التثقب العظمي الأصغرى في إنقاص الزمن اللازم لعلاج ازدحام القواطع السفلية (دون قلع) المعالجة بالراصفات الشفافة. تألفت عينة البحث من (40) مريضاً بعمر وسطي:  $(1.3 \pm 22.3)$  سنة، تم توزيعهم عشوائياً إما إلى مجموعة التثقب العظمي الأصغرى أو إلى المجموعة الشاهدة بنسبة تخصيص (1:1). تم علاج ازدحام القواطع السفلية لمرضى كلتا المجموعتين بالراصفات الشفافة، وقبل تطبيق أول راصفة شفافة لمرضى التثقب العظمي الأصغرى، تم إجراء 14 ثقباً قسرياً، ثقبان بكل مسافة بين سنية للقواطع السفلية من الناحية الدهلينية، تراوح قطر كل ثقب 1.2 ملم، وعمقه 1 ملم ضمن العظم الفشري باستخدام سنبلة إرشاد مكان الزرعة السنية بعد إجراء تعديلات عليها. تم تقييم الزمن اللازم للمعالجة من خلال حساب عدد الأيام بين الزمنين T0 و T1 لمرضى كلتا المجموعتين. حيث أن: T0: هو زمن تطبيق أول راصفة شفافة (بدء خطة المعالجة المفترضة، والتي هي رصف القواطع السفلية المزدحمة دون قلع)، وT1: هو زمن إزالة آخر راصفة شفافة (نهاية خطة المعالجة المفترضة، وذلك عند حيادية الراصفة الشفافة الأخيرة). أظهرت نتائج الدراسة وجود فرق جوهري إحصائياً بين المجموعتين بالنسبة للزمن اللازم لعلاج ازدحام القواطع السفلية المعالجة بالراصفات الشفافة ( $P-value < 0.05$ )، كما كان المتوسط الحسابي للزمن اللازم للمعالجة في المجموعة المدروسة أقل بـ 62 يوماً عن مثيله في المجموعة الشاهدة. يعتبر التثقب العظمي الأصغرى إجراء جراحي فعال في إنقاص الزمن اللازم لعلاج ازدحام القواطع السفلية (دون قلع) المعالجة بالراصفات الشفافة، حيث اختصر من المدة الزمنية اللازمة لإنجاز ذلك بمقدار 47.74% مقارنةً مع المجموعة الشاهدة (المعالجة بالراصفات الشفافة فقط).

الكلمات المفتاحية: التثقب العظمي الأصغرى، الراصفات الشفافة، ازدحام القواطع السفلية.

\* طالبة ماجستير في قسم تقويم الأسنان والفكين - كلية طب الأسنان - جامعة حماة.

\*\* أستاذ في قسم تقويم الأسنان والفكين - كلية طب الأسنان - جامعة حماة

## Evaluation of the Effectiveness of Micro-Osteoperforation in Reducing the Time Required to Treat Crowding of Lower Incisors Treated with Clear Aligners

Zouha Giath Al-Barram\*

Prof. Dr. Rabab Adel Al-Sabbagh\*\*

(Received:25 March 2024 ,Accepted: 30 June 2024)

### Abstract:

The research aims to evaluate the effectiveness of micro-osteoperforation in reducing the time required to treat crowded lower incisors (without extraction) treated with clear aligners. The research sample consisted of (40) patients with a mean age of ( $22.3 \pm 1.3$ ) years. They were randomly distributed either to the micro-osteoperforation group or to the control group with an allocation ratio of (1:1). The lower incisors of patients in both groups were decrowded with clear aligners, and before applying the first clear aligner to patients in the micro-osteoperforation group, 14 cortical perforations were made, two perforations in each interdental space of the lower incisors from the buccal aspect. The diameter of each perforation was 1.2 mm, and its depth was 1 mm within the cortical bone using a lance drill after making adjustments to it. The time required for treatment was evaluated by calculating the number of days between times T0 and T1 for patients in both groups. Where: T0: is the time for applying the first clear aligner (initiate the assumed treatment plan, which is to align the crowded lower incisors without extraction), and T1: is the time for removing the last clear aligner (the end of the assumed treatment plan, when the last clear aligner is neutral). The results of the study showed that there was a statistically significant difference between the two groups regarding the time required to treat crowded lower incisors treated with clear aligners ( $P$ -value < 0.05), and the arithmetic average of the time required for treatment in the studied group was 62 days less than that in the control group. Micro-osteoperforation is considered an effective surgical procedure in reducing the time required to treat crowded lower incisors (without extraction) treated with clear aligners, as it shortened the time required to achieve this by 47.74% compared to the control group (treated with clear aligners only).

**Keywords:** Micro-osteoperforation, Clear aligners, Crowding of the lower incisors.

\*A MSc student in department of orthodontics and dentofacial orthopaedics–Faculty of Dentistry–Hama University.

\*\*Professor in department of orthodontics and dentofacial orthopaedics–Faculty of Dentistry–Hama University.

## المراجعة النظرية Literature Review

بعد الازدحام السني من أكثر أشكال سوء الإطباق شيوعاً عند المرضى البالغين، والتي تدفعهم لطلب المعالجة التقويمية (Proffit et al., 2012; Thilander et al., 2001). ووجد أنه كان أكثر توضعاً في المنطقة الأمامية للفك السفلي (Salim et al., 2021). وعلى الرغم من حاجة المرضى البالغين للمعالجة التقويمية، إلا أن الكثير منهم يرفض الخضوع للمعالجة التقويمية التقليدية بالجهاز الثابت نظراً لمتطلباتهم الجمالية التي لا توفرها الأجهزة الثابتة، وخوفاً من التأثيرات الجانبية المرافقة للمعالجة، مثل: الألم، الانزعاج، الالتهابات اللثوية، النخور، وامتصاص جذور الأسنان (Talic, 2011; Saccomanno et al., 2022; Johal et al., 2015).

شجعت الأسباب السابقة على تطوير المعالجة بتقنية الراسفات الشفافة (Clear Aligner Technique) (CAT)، التي عدت نقطة تحول في عالم تقويم الأسنان والفكين، حيث تعتمد هذه التقنية في إنجاز الحركات السنية التقويمية على تطبيق مجموعة متتالية من الراسفات الشفافة، التي تختلف تدريجياً بشكلها، وتبدأ من الشكل الأولي لقوس السنية ضمن الفم لتنتهي بشكل القوس السنية الموافق للتبؤ الرقمي ثلاثي الأبعاد لنتائج المعالجة المفترضة (Wheeler, 2017). فكل راسفة شفافة تكون مبرمجة لتحريك سن أو مجموعة من الأسنان بمقادير محددة خلال مدة محددة تختلف حسب الشركة المصنعة للراسفات الشفافة (Moya and Zafra, 2021; Gerie, 2018; Tai, 2018).

أثبتت العديد من الدراسات فعالية تقنية الراسفات الشفافة في معالجة حالات الازدحام السني خفيف ومتوسط الشدة (دون قلع) (Graf et al., 2021; Gu et al., 2017; Lanteri et al., 2018; Jaber et al., 2023a; Jaber et al., 2023b; Jaber et al., 2022a). كما أظهرت دراسات حديثة فعاليتها في معالجة حالات الازدحام السني الشديد الذي يتزافق مع قلع وحدات سنية (Jaber et al., 2022b).

إن الميزة الأساسية للراسفات الشفافة أنها تقريراً غير مرئية، وبالتالي توفيرها ناحية جمالية عالية مقارنة بالأجهزة الثابتة، ومن مزاياها الأخرى قدرة المريض على إزالتها، فتؤمن بهذا راحة أكبر عند تناول الطعام وسهولة في القيام بإجراءات العناية الفموية، فضلاً عن تسجيلها لمستويات ألم وانزعاج وامتصاص جذور أسنان أقل، وصحة فموية ولثوية أفضل مقارنة بالأجهزة الثابتة التقليدية (Tamer et al., 2019; Jaber et al., 2022b; Saccomanno et al., 2022; Alfawal et al., 2022). لكن البروتوكول الصارم الذي يتطلب ارتداء كل راسفة شفافة 22 ساعة باليوم لمدة 14 يوم، يؤدي لضعف امتحان المريض له طيلة فترة المعالجة، وبالنظر إلى ضرورة الحفاظ على هذا الانضباط، تصبح مدة المعالجة عاملاً حاسماً في اتخاذ القرار بالبدء بالمعالجة التقويمية بالراسفات الشفافة (Uribe et al., 2014; Gandedkar et al., 2024; AIMogbel, 2023; Timm et al., 2021).

فاستخدمت العديد من الطرق لتسريع الحركة السنية التقويمية، ومن بين كل الطرق تعتبر الطرق الجراحية هي الأكثر استخداماً سريرياً والأكثر اختباراً مع توقعات معروفة ونتائج مستقرة (Nimeri et al., 2013). وعلى الرغم من أن الطرق الجراحية التقليدية كالقطع العظمي Osteotomy، والقطع القصري Corticotomy المتراقة مع رفع شرائح كاملة التخانة أثبتت فعاليتها (Al-Naoum et al., 2014)، إلا أن تطبيقها لم ينتشر بشكل واسع بين أطباء تقويم الأسنان بسبب اجتياحيتها الكبيرة، الألم المرافق لتطبيقها، كلفتها المرتفعة، وال الحاجة إلى مساعدة جراح في إجرائها (Shahabee et al., 2020). بالإضافة لأنها قد تواجه برفض المريض بسبب القلق والخوف من الألم والخضوع للجراحة، فالمرضى عادةً غير منفتحين تجاه الأفكار المتضمنة الجراحة إلا إذا كانت الخيار الوحيد للحصول على إطباق جيد (Nimeri et al., 2013).

ومن هنا تزايد الاهتمام بشكل كبير في السنوات الأخيرة لتطوير إجراءات جراحية محافظة، تقدم فعالية سريرية مشابهة بأقل رض ممكن وتقبل أكبر من قبل المرضى (Alfawal et al., 2018; Alfawal et al., 2016)، ومن هذه الإجراءات:

القطع القشري اللاشرحي بالبليزو (Gibreal et al., 2019; Al-Imam et al., 2019) Piezocision، الشق القشري (Yavuz et al., 2018) Discision، القطع القشري بالقرص (Sirri et al., 2021) Corticision، والتنقيب العظمي الأصغرى (Alikhani et al., 2013) Micro-osteoperforation (MOPs).

يعتبر التنقيب العظمي الأصغرى والذي يُدعى أيضاً بالتنقيب السنخي القشري Cortico-Alveolar Perforations (CAPs) (Alfailany et al., 2023) إجراء جراحي قليل الاجتياحية، يهدف لتسريع الحركة السننية التقويمية من خلال إجراء ثقب صغيرة ضمن العظم القشري الدهليزي و/أو اللسانى عبر اللثة الملتصقة أو المخاطية الفموية، دون رفع شرائح كاملة الثخانة (Teixeira et al., 2010)، باستخدام عدة وسائل كجهاز بروبل (Alikhani et al., Propel device 2013)، زربات تقويمية Orthodontic mini-implants (Al-Attar et al., 2022)، سنابل جراحية Surgical burs (Sugimori et al., 2018) ، وسنابل إرشاد مكان الزرعة السننية Lance drills (Alfailany et al., 2023; Sugimori et al., 2018) .(Raj and Rajasekaran, 2021; Raghav et al., 2021).

يعتمد هذا الإجراء الجراحي في تسريع الحركة السننية التقويمية على الوسائل الالتهابية الناتجة عن تحفيز ظاهرة التسريع الناحي (RAP) (Regional Acceleratory Phenomenon) الناجي (Frost, 1983; Wilcko et al., 2001; Alikhani et al., 2013; Baloul et al., 2011; Alikhani et al., 2015; Teixeira et al., 2010). وهو يتميز بكونه إجراء جراحي بسيط، يمكن إنجازه على الكرسي السنى من قبل أخصائى تقويم الأسنان خلال دقائق، فليس بحاجة لخبرة أو تدريب متقدم لإجرائه، ويترافق مع ألم وانزعاج أصغرى، بحيث يمكن للمربيض متابعة نشاطه اليومى مباشرةً بعد الانتهاء من تطبيقه (Alansari et al., 2017).

بعد مراجعة الأدبيات الطبية المنشورة، تبين أنه هناك قلة في الدراسات التي تحررت فعالية التنقيب العظمي الأصغرى في إنفاس زمن المعالجة التقويمية بالراسفات الشفافة، حيث كانت أغلب الدراسات المنشورة تتحرى فعالية التنقيب العظمي الأصغرى في إنفاس زمن المعالجة التقويمية بالجهاز الثابت (Larenas et al., 2023; Eini et al., 2022; Al-Khalifa and Baeshen, 2021; Shahabee et al., 2020)، ومن هنا جاءت فكرة هذا البحث في تقييم فعالية التنقيب العظمي الأصغرى في إنفاس الزمن اللازم لعلاج ازدحام القواطع السفلية (دون قلع) المعالجة بالراسفات الشفافة.

### **Aim of the Study**

تقييم فعالية التنقيب العظمي الأصغرى في إنفاس الزمن اللازم لعلاج ازدحام القواطع السفلية (دون قلع) المعالجة بالراسفات الشفافة.

### **Materials and Methods**

#### **Study Design**

تجربة سريرية مضبوطة معاشرة، أحادية المركز، ثنائية الأذرع، من نظام المجموعتين المتوازيتين، لمرضى لديهم ازدحام متوسط الشدة (4-6) ملم بمنطقة القواطع السفلية يستوجب المعالجة دون قلع، تم توزيعهم عشوائياً بنسبة تخصيص (1:1) إلى مجموعتين: مجموعة شاهدة: خضع المشاركون فيها للمعالجة التقويمية بـتقنية الراسفات الشفافة لعلاج ازدحام القواطع السفلية دون أي تداخل جراحي، ومجموعة الدراسة: خضع المشاركون فيها للمعالجة التقويمية بـتقنية الراسفات الشفافة بالمشاركة مع تطبيق التنقيب العظمي الأصغرى الذي يهدف إلى تسريع علاج ازدحام القواطع السفلية.

#### **Study Location**

أجريت كافة مراحل الدراسة في قسم تقويم الأسنان والفكين - كلية طب الأسنان - جامعة حماه.

## عينة الدراسة Study Sample

### حساب حجم العينة Sample Size Calculation

تم حساب حجم العينة باستخدام برنامج G\*power 3.1.9.4 وفقاً للمعطيات التالية: الاختبار الإحصائي المستخدم هو اختبار ستودينت للعينات المستقلة T-Test Independent samples، مستوى الدلالة 0.05، قوة الدراسة 0.80، نسبة التخصيص (1:1)، واعتبر الزمن اللازم لعلاج ازدحام القواطع السفلية (دون قلع) مشعرأً لحساب حجم العينة. ووفقاً لدراسة Pandis et al.,(2007) يتطلب علاج ازدحام القواطع السفلية مع عدم انتظام متوسط حسب مشعر ليتل لازدحام (Little, 1975) دون إجراء قلع 114.51 يوماً، وعلى فرض أن الإجراء الجراحي المُسرّع المُطبق (التنقيب العظمي الأصغرى) يجب أن ينقص زمن المعالجة بمعدل 35% مقارنةً مع الزمن اللازم لإنجاز ذلك دون تطبيق أي إجراء جراحي مُسرّع للحصول على فرق دال سريريًّا، فيكون أقل فرق سريري 40.078 يوماً، وبأخذ الانحراف المعياري لهذا المتغير 46.44 يوماً بنفس الدراسة السابقة، يكون حجم التأثير Effect size هو  $d=0.863$ . بإدخال البيانات السابقة للبرنامج نجد أن عدد المرضى بكل مجموعة 18 مريضاً، وبالتالي العدد الكلي لأفراد العينة 36 مريضاً. وبفرض حدوث نسبة انسحاب 10% خلال متابعة المرضى سيصبح العدد الكلي المطلوب 40 مريضاً، 20 مريضاً لكل مجموعة من مجموعتي الدراسة.

### معايير الإدخال Inclusion Criteria

1. مرضى بالغون تراوحت أعمارهم بين (18 - 26) سنة
2. لديهم سوء إطباق يستوجب علاج ازدحام القواطع السفلية (دون قلع)، يحقق الشروط التالية: ازدحام سني في منطقة القواطع السفلية متوسط الشدة (4-6) ملم حسب مشعر ليتل (Little, 1975)، علاقات رحوية ونابية صنف أول حسب تصنيف Angle في كلا الجانبين، بروز Overjet طبيعى أو زائد قليلاً (لا يتجاوز ال 4 ملم)، وتعطيبة Overbite طبيعية أو زائدة قليلاً (أقل من 50%)، العلاقة الهيكيلية بين الفكين العلوي والسفلي في المستوى السهمي: صنف أول هيكيلي والمقيم شعاعياً من خلال الزاوية ( $ANB=2-4^{\circ}$ )، نموذج نمو طبيعي والمقيم شعاعياً من خلال الزاوية ( $SN-MP=35\pm5^{\circ}$ ).
3. لديهم إطباق دائم بالإضافة لعدم وجود فقد في الأسنان الدائمة (عدا الأرحاء الثالثة)
4. لديهم تزوّي Angulation طبّيعي لجذور القواطع السفلية والمقيم شعاعياً عبر الصورة البانورامية (Casko et al., 1998)
5. لديهم صحة فموية جيدة (مشعر اللوحة  $\geq 1$ ). (Löe, 1967)

### معايير الإخراج Exclusion Criteria

1. وجود أي مرض جهازي يؤثر على الحركة السنية التقويمية
2. مريض خاضع لمعالجة تقويمية سابقة
3. مريض خاضع لأى معالجة دوائية قد تتدافع مع الحركة السنية التقويمية (الكورتيزون، مضادات الالتهاب اللاستيروئيدية).

### جمع أفراد العينة Collecting Sample

فحص 215 مريضاً من المرضى المرجعين لقسم تقويم الأسنان والفكين بجامعة حماه، استبعد منهم 170 مريضاً لعدم مطابقة معايير إدخال الدراسة، وبلغ عدد المرضى المطابقين لمعايير الإدخال 45 مريضاً، رفض 3 مرضى منهم المشاركة في البحث، ليبقى 42 مريضاً مطابقين لمعايير الإدخال وراغبين في المشاركة بالبحث، انتقى منهم 40 مريضاً عشوائياً (الطريقة العشوائية البسيطة باستخدام برنامج Microsoft Excel) وضموا للدراسة. وهكذا بلغ عدد أفراد العينة 40 مريضاً،

وخلال مرحلة المتابعة، لم ينسحب أحد من المرضى في كلتا المجموعتين، فكان العدد النهائي لأفراد العينة 40 مريضاً، 20 مريضاً لكل مجموعة من مجموعتي الدراسة.

### التوزيع العشوائي والتخصيص والتعمية Randomization, Allocation and Blinding

اتبعت الطريقة العشوائية البسيطة عن طريق إنشاء قائمة بأسماء المرضى موزعة عشوائياً باستخدام برنامج Microsoft Excel مع نسبة توزيع (1:1)، وأخفي تسلسل التوزيع (التخصيص) عن الباحثة لتجنب الانحياز في الاختيار عن طريق استخدام ملفات مختومة غير شفافة مرقمة تسلسلياً فتحت فقط قبل البدء بالمعالجة. ولم يكن من الممكن تعمية كل من الباحثة والمرضى في أثناء البحث لتجنب الانحياز في الأداء، لأن ذلك غير قابل للتطبيق، ولكن تمت تعمية الباحثة في مرحلة استخلاص النتائج والتحليل الإحصائي لتجنب الانحياز في الكشف عن طريق إعطاء المرضى أرقاماً تعريفية خاصة، واستعين بطلاب في قسم تقويم الأسنان والفكين غير مشاركين في البحث للقيام بالتوزيع العشوائي وإخفاء تسلسل التخصيص عن الباحثة وإعطاء الأرقام التعريفية للمرضى.

### طرائق الدراسة Study Methods

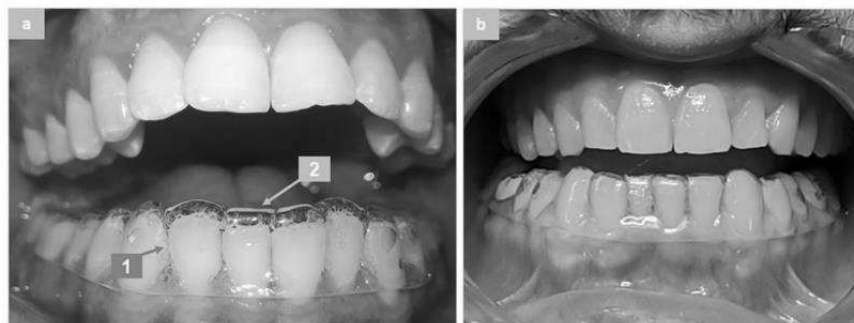
الإجراءات المتبعة لتطبيق راصلفات الشفافة لكل مريض من مرضى المجموعتين الشاهدة والمدروسة أرسلت لمقر نظام 3DA® (3D Aligners System, Hama, Syria) (3D Aligners System) السجلات الخاصة بحالة المريض الآتية: الطبعات المطاطية للقوسين السنيتين العلوية والسفلية، العضة الشمعية، الصور الضوئية داخل وخارج فموية، الصورة الشعاعية السيفالومترية الجانبية، والوصفة الطبية (المصممة من قبل نظام 3DA®)، بعد ملئها بالمعلومات المطلوبة، حيث تم التوضيح من خلالها تشخيص الحالة وخطة المعالجة المقترحة والتي هي رصف القواطع السفلية المزدحمة دون قلع. وبعد الموافقة على خطة المعالجة التقويمية المقترضة من قبل نظام 3DA® والتي تراعي خطة المعالجة المقترحة من قبل الباحثة، تم الحصول على حزمة المعالجة الخاصة بالمريض بما تتضمنه من راصلفات شفافة، وملحقات خاصة بالمعالجة، الشكل رقم (1)، وأجري السحل المينائي الملائم المطلوب بالمقدار والأماكن المحددة من قبل نظام 3DA® بما يتتفافق مع خطة المعالجة المقترضة باستخدام شرائط سحل ماسية أحادية الجانب من شركة Horico (Dental Hopf, Ringleb & Co. GmbH & Cie IPR Gauge) بعد ذلك تم تطبيق أول راصلفة شفافة لمرضى المجموعة الشاهدة، الشكل رقم (2)، أما مرضى مجموعة الدراسة فقد تم إجراء التقبيب العظمي الأصغرى لهم قبل تطبيق أول راصلفة شفافة مباشرةً. وأعطي كل مريض من مرضى المجموعتين الشاهدة والمدروسة التعليمات التالية: ارتداء راصلفة الشفافة 22 ساعة في اليوم، نزع راصلفة الشفافة عند تناول الطعام أو الشراب، عدم تعريض راصلفة الشفافة للحرارة، والحفاظ على نظافة راصلفة الشفافة من خلال تنظيفها بواسطة فرشاة ومعجون أسنان. كما تم توعية مرضى كلتا المجموعتين حول معيار الانتقال للراصلفة الشفافة التالية، وذلك عند حيادية راصلفة الشفافة المطبقة، حيث يتم الحكم على ذلك من خلال: غياب مظهر الفقاعات الهوائية (Air bubbles) بين الأسنان والراصلفة الشفافة، وغياب مظهر الفراغات القاطعية (Incisal gaps) بين الحدود القاطعية للأسنان والراصلفة الشفافة، الشكل رقم (3)، وعدم تطبيق راصلفة الشفافة أي ضغط على منطقة القواطع السفلية (الأسنان المراد تحريكها عبر راصلفة الشفافة وذلك حسب خطة المعالجة المقترضة) (Shipley et al., 2019; Kaur and El-Bialy, 2020; Dickerson, 2017). وتم تزويد كل مريض من مرضى كلتا المجموعتين بفاتح فم مزدوج، وتوعيتهم حول طريقة استخدامه، والطلب منهم إرسال صورة أمامية للأسنان (بوضعية نصف فتح الفم، والراصلفة الشفافة - قيد الاستخدام - مطبقة على الأسنان) يومياً للباحثة عبر تطبيق WhatsApp (Meta Platforms, Inc., Cambridge, MA, USA Torsello et al., 2022; Li et al., 2016; Vande Vannet ) (and Gushchin, 2015).



الشكل رقم (2): تطبيق أول راصفة شفافة لمرضى المجموعة الشاهدة (الصورة للباحثة)



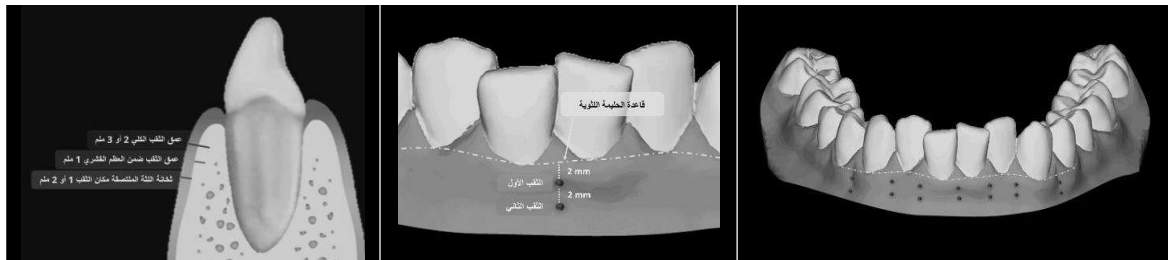
الشكل رقم (1): حزمة المعالجة الخاصة بالمريض المرسلة من نظام 3DA® (الصورة للباحثة)



الشكل رقم (3): معيار الانتقال للراصفة الشفافة التالية، a: عدم حيادية الراصفة الشفافة، 1: مظهر الفقاعات الهوائية بين الأسنان والراصفة الشفافة، 2: مظهر الفراغات القاطعية بين الحدود القاطعة للأسنان والراصفة الشفافة، b: حيادية الراصفة الشفافة (الصورة للباحثة)

الإجراءات المتبعة لتطبيق التثقب العظمي الأصغرى لكل مريض من مرضى المجموعة المدروسة تم إجراء التثقب العظمي الأصغرى بكماله من قبل الباحثة، وذلك قبل تطبيق أول راصفة شفافة مباشرةً، وفقاً للخطوات التالية: تمت الاستفادة من الصورة الشعاعية البانورامية للتأكد من صحة تزوی Angulation جذور القواطع السفلية (Sangsuwon et al., 2017)، ثم طلب من المريض المضمضة بغسول فموي كلورالهيكسيدين 0.12% لمدة دقيقة قبل إجراء الجراحة، بعد ذلك تم القيام بتخدير ناحي لمنطقة القواطع السفلية من خلال إجراء حقنة العصب الذقني في كلتا الجهتين اليمنى واليسرى بمقدار نصف أمبولة لكل جهة منها باستخدام أمبولات تخدير بتراكيب (Lidocaine HCL 2%) من شركة Adrecain dental, Avenzor, Syria)، وتم إجراء 14 ثقباً بقطر 1.2 mm ضمن العظم القشرى الدهلizi عبر اللثة الملتصقة دون رفع شريحة، ثقبين بكل مسافة بين سنية للقواطع السفلية، الشكل رقم (4)، حيث توضع الثقب الأول أسفل قاعدة الحليمة اللثوية ب 2 mm تجنبًا لحدوث انحسار لثوي لاحق، كما توضع الثقب الثاني أسفل الثقب الأول ب 2 mm بالاتجاه النزوي، الشكل رقم (5)، بلغ العمق الكلى لكل ثقب من التقويب المنجزة 2 أو 3 mm، وهو ناتج عن حاصل جمع ثخانة اللثة الملتصقة مكان الثقب (المقاسة بعد إجراء التخدير وقبل إجراء

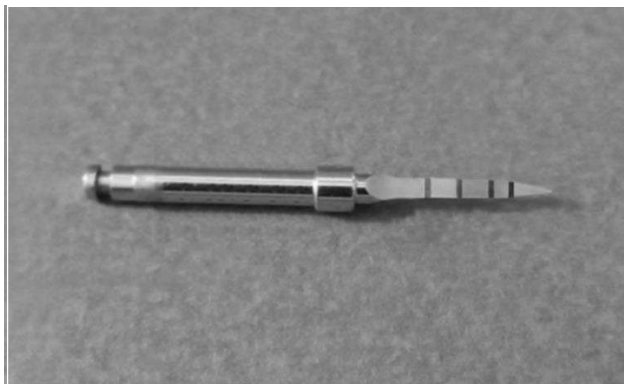
التقب القشرى) والتي تكون عادة قيمتها 1 أو 2 ملم مضافاً إليها عمق التقب ضمن العظم القشرى الدهليزى 1 ملم، الشكل رقم (6).



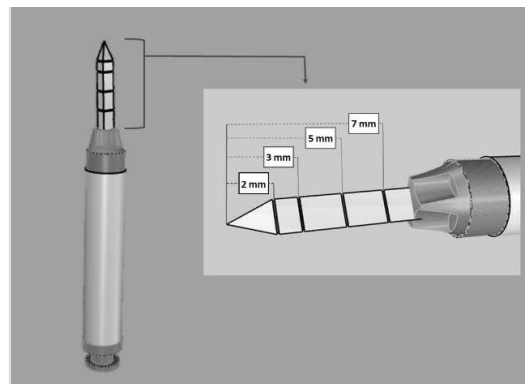
الشكل رقم (6): شكل ترسيمي يوضح عدد وعمق التقب الكلى لكل ثقب من الثقب القشرية المنجزة (الصورة للباحثة)

الشكل رقم (5): شكل ترسيمي يوضح عدد وأماكن التقوب القشرية المنجزة (الصورة للباحثة) يوضح توضع التقب الأول والثانى بكل مسافة بين سنية لقواطع السفلية (الصورة للباحثة)

تم استخدام سنبلة إرشاد مكان الزرعة السنية Lance Drill, SGS Dental, (Lance Drill, SGS Dental, Swiss) لإنجاز التقوب القشرية، وذلك بعد إجراء التعديلات التالية عليها من قبل الأستاذة المشرفة والباحثة، حيث تم وضع تدرجات على الرأس العامل للسبنبلة كالتالي: التدرجة الأولى بلون أسود وتبع عن رأس السنبلة 2 ملم، التدرجة الثانية بلون أزرق وتبع عن رأس السنبلة 3 ملم، التدرجة الثالثة بلون أخضر وتبع عن رأس السنبلة 5 ملم، والتدرجة الرابعة بلون أحمر وتبع عن رأس السنبلة 7 ملم، الشكل رقم (7). حيث تساعد هذه التدرجات على ضبط مكان وعمق كل ثقب من التقوب القشرية المنجزة دون الحاجة لاستخدام وسائل إضافية (مسير ولIAM, Bansal et al., 2019)، محددة مطاطية (Al-Attar et al., 2022) لإنجاز ذلك، وهذا يسهل ويختصر من الوقت اللازم لإنجاز الإجراء الجراحي. عند إجراء التقليب العظمي الأصغرى بواسطة السنبلة المعدلة، الشكل رقم (8)، قامت الباحثة بتركيب السنبلة على قبضة معوجة متصلة مع موتور جراحي (TRAUS SIP10 Implant Motor, Saeshin, USA) بعد ضبط الإعدادات التالية عليه (سرعة الدوران 800 دورة بالدقيقة ووزن دوران 50 نيوتن)، وإنجاز التقوب بالمكان المخصص بحيث يكون الرأس العامل للسبنبلة يوازي مستوى الإطباق عند التطبيق مع المحافظة على التبريد أثناء العمل من خلال الإرواء المستمر بالسيروم الملحي، وتم ضبط مكان وعمق كل ثقب من التقوب القشرية المنجزة بواسطة التدرجات الموجودة على الرأس العامل للسبنبلة، الشكل رقم (9). تمت السيطرة على النزف بعد الإجراء الجراحي من خلال استخدام لفافة قطنية والضغط على مكان العمل لمدة دقيقة، وتم تطبيق الرأصفة السفافية الأولى مباشرةً بعد الانتهاء من الإجراء الجراحي، الشكل رقم (10). طلب من كل مريض المضمضة بغسول فموي كلورالهيكسيدين 0.12% لمدة دقيقة مرتين يومياً لمدة 3 أيام، وتم وصف مسكن باراسيتامول 500 mg tab (Paracetamol 500 mg tab) للمريض لتسكين الألم المتوسط أو الشديد في حال وجوده مع التأكيد على إتمام الاستبيانات في الوقت المطلوب أولاً قبل تناول المسكن، ولم يتم وصف أي دواء مضاد للالتهاب لاستيروكيندي مع تبيه المريض على عدم تناول هذا النوع من الأدوية، لتجنب تداخلها مع ظاهرة التسريع الناجمة عن التداخل الجراحي.



الشكل رقم (8): السنبلة بعد إجراء التعديلات عليها (الصورة للباحثة)



الشكل رقم (7): شكل ترسيمي يوضح التعديلات المجرأة على الرأس العامل للسنبلة (الصورة للباحثة)



الشكل رقم (10): تطبيق الراصفة الشفافة الأولى مباشرةً بعد الانتهاء من الإجراء الجراحي (الصورة للباحثة)



الشكل رقم (9): إجراء التقسيب العظمي الأصغري (الصورة للباحثة)

**الإجراءات المتبعة للمتابعة لكل مريض من مرضى المجموعتين الشاهدة والمدروسة**

تمت متابعة مرضى كلتا المجموعتين يومياً ابتداءً من جلسة تطبيق أول راصفة شفافة عبر تطبيق WhatsApp (Meta Platforms, Inc., Cambridge, MA, USA Torsello et al., 2022; Li et al., 2016; Vande Vannet ) (and Gushchin, 2015). للأهداف التالية: تذكيرهم بضرورة الالتزام بارتداء الراصفة الشفافة 22 ساعة باليوم، وتنذيرهم بإرسال الصورة الأمامية للأسنان باستخدام فاتح الفم المزدوج، حيث يتم التأكد من غياب مظهر الفقاعات الهوائية (Air bubbles) بين الأسنان والراصفة الشفافة، وغياب مظاهر الفراغات القاطعية (Incisal gaps) بين الحدود القاطعة للأسنان والراصفة الشفافة، وفي حال غياب هذين المظاهرتين يطلب من المريض أن يأتي لقسم تقويم الأسنان والفكين في اليوم التالي ل تقوم الباحثة بالتأكد من حيادية الراصفة المطبقة من خلال التأكد من غياب مظهر الفقاعات الهوائية (Air bubbles)، ومن غياب مظاهر الفراغات القاطعية (Incisal gaps) عبر الفحص السريري للمريض، والتأكد من أن الراصفة لا تطبق ضغط على منطقة القواطع السفلية من خلال سؤال المريض حول ذلك ( Shipley et al., 2019; )

انتهاء خطة المعالجة المفترضة، وذلك عند حيادية الراصفة الشفافة الأخيرة.

#### تقييم الزمن اللازم لعلاج ازدحام القواطع السفلية المعالجة بالراصفات الشفافة:

تم تقييم الزمن اللازم لعلاج ازدحام القواطع السفلية المعالجة بالراصفات الشفافة من خلال حساب عدد الأيام بين الزمنين  $T_0$  و  $T_1$  لمرضى كلتا المجموعتين. حيث أن:  $T_0$ : هو زمن تطبيق أول راصفة شفافة (بدء خطة المعالجة المفترضة والتي هي رصف القواطع السفلية المزدحمة دون قلع)، و  $T_1$ : هو زمن إزالة آخر راصفة شفافة (نهاية خطة المعالجة المفترضة وذلك عند حيادية الراصفة الشفافة الأخيرة).

#### الدراسة الإحصائية Statistical Study

استخدم برنامج SPSS Inc., Chicago, IL, (Statistical Package of Social Science) النسخة 22 USA لتحليل النتائج إحصائياً، وقيمت النتائج بمجال ثقة 95%， وعينت الدلالة الإحصائية عند مستوى دلالة أقل أو يساوي 0.05 ( $P \leq 0.05$ )، وذلك لتحديد وجود اختلافات دالة إحصائية، فإذا كانت القيمة المحسوبة أقل أو تساوي مستوى الدلالة نقرر وجود فروق جوهرية، أما إذا كانت القيمة أكبر من مستوى الدلالة فليس هناك فروق جوهرية. في البداية حسب الإحصاء الوصفي لكل متغير من متغيرات الدراسة وتضمن وصفاً للمتغيرات الإحصائية المحسوبة، ثم درس توزيع بيانات الدراسة لمعرفة ما إذا كان توزعها طبيعياً أو غير طبيعي باستخدام اختبار تحليل الطبيعية Anderson-Darling، حيث يرفض هذا الاختبار فرضية الطبيعية عندما تكون قيمة  $P$ -value أقل أو تساوي 0.05، ويقبل فرضية الطبيعية عندما تكون قيمة  $P$ -value أكبر من 0.05. وطبقت الاختبارات المعلمية Parametric Tests حيث كان توزع البيانات توزعاً طبيعياً، فاستخدم اختبار ستيفينز للعينات المستقلة Independent sample T-Test للكشف عن جوهرية الفروق بين المجموعتين.

#### نتائج Results

بلغ المتوسط العمري للمرضى في المجموعة الشاهدة ( $1.3 \pm 22.3$  سنة)، مقارنة مع ( $1.4 \pm 22.2$  سنة) في المجموعة المدروسة مع كون الفرق في متوسط العمر غير دال إحصائياً، إذ كانت قيمة الاحتمالية الناتجة ( $P-value > 0.05$ )،

الجدول رقم (1)

الجدول رقم (1): الإحصاء الوصفي لأعمار المرضى (بالسنوات) في عينة الدراسة وفقاً للمجموعة المدروسة، ونتائج اختبارات الجوهرية الإحصائية للفرق في متوسط العمر بين مجموعتي الدراسة										
اختبار الجوهرية الإحصائية للفرق بين المتوسطين		المجموعة المدروسة (N=20)			المجموعة الشاهدة (N=20)			العينة كاملة (N=40)		المتغير المدروس
قيمة الجوهرية الإحصائية	P-value	قيمة المحسوبة t	الفرق بين المتوسطين	الانحراف المعياري	المتوسط الحسابي	الانحراف المعياري	المتوسط الحسابي	الانحراف المعياري	المتوسط الحسابي	
NS	0.790	0.269	0.133	1.42	22.2	1.29	22.33	1.337	22.26	العمر (بالسنوات)

الاختبار المستخدم: ستيفينز للعينات المستقلة Independent sample T-Test، NS: لا توجد فروق جوهرية إحصائياً

كان متوسط قيمة مشعر ليتل لعدم انتظامية القواطع السفلية قبل البدء بالمعالجة التقويمية لكامل العينة ( $0.26 \pm 5.24$  ملم)، حيث بلغت قيمته في المجموعة الشاهدة ( $0.27 \pm 5.23$  ملم)، وفي المجموعة المدروسة ( $0.27 \pm 5.26$  ملم)،

الجدول رقم (2).

**الجدول رقم (2): الإحصاء الوصفي لقيمة مشعر ليتل لعدم انتظامية القواعط السفلية قبل البدء بالمعالجة التقويمية**

**(بالعلم) في عينة الدراسة وفقاً للمجموعة المدروسة**

العينة كاملة (N=40)					المجموعة المدروسة (N=20)					المجموعة الشاهدة (N=20)					المتغير المدروس
أحد الأعلى	أحد الأدنى	الانحراف المعياري	المتوسط الحسابي	أحد الأعلى	أحد الأدنى	الانحراف المعياري	المتوسط الحسابي	أحد الأعلى	أحد الأدنى	الانحراف المعياري	المتوسط الحسابي				
5.7	4.7	0.262	5.243	5.5	4.7	0.266	5.260	5.7	4.8	0.265	5.226	LII0 (بالعلم)			

LII0: قيمة مشعر ليتل لعدم انتظامية القواعط السفلية قبل البدء بالمعالجة التقويمية

بلغ متوسط عدد الراصفات الشفافة اللازمة لإنهاء خطة المعالجة المفترضة (رصف القواعط السفلية المزدحمة دون قلع) لكامل العينة 9 راصفات (تراوح بين 8 راصفات كحد أدنى إلى 10 راصفات كحد أعلى)، وبشكل مشابه في المجموعة الشاهدة والمدروسة. بلغ متوسط السحل المينائي الملائق المطلوب لكامل العينة ( $2.99 \pm 0.13$  ملم)، حيث كان متوسط قيمته في المجموعة الشاهدة ( $2.96 \pm 0.14$  ملم)، وفي المجموعة المدروسة ( $3.03 \pm 0.12$  ملم). يوضح الجدول رقم (3) الإحصاء الوصفي للخصائص العلاجية (عدد الراصفات الشفافة، ومقدار السحل المينائي الملائق) في عينة الدراسة وفقاً للمجموعة المدروسة.

**الجدول رقم (3): الإحصاء الوصفي للخصائص العلاجية (عدد الراصفات الشفافة، ومقدار السحل المينائي الملائق)**

**في عينة الدراسة وفقاً للمجموعة المدروسة**

العينة كاملة (N=40)					المجموعة المدروسة (N=20)					المجموعة الشاهدة (N=20)					المتغير المدروس
أحد الأعلى	أحد الأدنى	الوسط	الانحراف المعياري	المتوسط الحسابي	أحد الأعلى	أحد الأدنى	الوسط	الانحراف المعياري	المتوسط الحسابي	أحد الأعلى	أحد الأدنى	الوسط	الانحراف المعياري	المتوسط الحسابي	
10	8	9	0.45	9	10	8	9	0.37	9	10	8	9	0.53	9	عدد الراصفات الشفافة
3.4	2.5	3	0.13	2.99	3.4	2.8	3	0.12	3.03	3.10	2.50	3	0.14	2.96	مقدار السحل المينائي الملائق (بالعلم)

أظهرت نتائج اختبارات ستودينت للعينات المستقلة عدم وجود فروق جوهرية إحصائياً بين المجموعتين بالنسبة لكل من العمر، قيمة مشعر ليتل لعدم انتظامية القواعط السفلية قبل البدء بالمعالجة التقويمية، والخصائص العلاجية (عدد الراصفات الشفافة، ومقدار السحل المينائي الملائق) حيث كانت قيمة الاحتمالية الناتجة عنها ( $P-value > 0.05$ ) لجميع المتغيرات المدروسة، وبالتالي كانت كلتا المجموعتين متجانستين وقابلتين للمقارنة، الجدول رقم (4).

**الجدول رقم (4): نتائج اختبارات الجوهرية الإحصائية للفروق في متوسطات كل من العمر، قيمة مشعر ليتل قبل البدء بالمعالجة التقويمية، والخصائص العلاجية (عدد الراصفات الشفافة، ومقدار السحل المينائي الملاصق) بين مجموعتي الدراسة**

اختبار الجوهرية الإحصائية لفرق بين المتواسطين				المجموعة المدرستة (N=20)	المجموعة الشاهدة (N=20)	المتغير المدروس
الجوهرية الإحصائية	قيمة الاحتمالية P-value	قيمة t المحسوبة	الفرق بين المتواسطين	المتوسط الحسابي	المتوسط الحسابي	
NS	0.790	0.269	0.133	22.2	22.33	العمر (بالسنوات)
NS	0.734	0.343-	0.033-	5.260	5.226	LII0 (بالملم)
NS	1.000	0.000	0.000	9	9	عدد الراصفات الشفافة
NS	0.148	1.489-	0.073-	3.033	2.960	مقدار السحل المينائي الملاصق (بالملم)

الاختبار المستخدم: ستيدينت للعينات المستقلة Independent sample T-Test، LII0: قيمة مشعر ليتل لعدم انتظامية القواعط السفلية قبل البدء بالمعالجة التقويمية، NS: لا توجد فروق جوهرية إحصائياً

يوضح الجدول رقم (5) الإحصاء الوصفي للزمن اللازم لإنتهاء خطة المعالجة المفترضة (رفض القواعط السفلية المزدحمة دون قلع) (بالأيام) في عينة الدراسة وفقاً لمجموعة المدرستة.

الجدول رقم (5): الإحصاء الوصفي للزمن اللازم لإنتهاء خطة المعالجة المفترضة (رفض القواعط السفلية المزدحمة دون قلع) (بالأيام) في عينة الدراسة وفقاً لمجموعة المدرستة								
المجموعة المدرستة (N=20)				المجموعة الشاهدة (N=20)				المتغير المدروس
الحد الأعلى	الحد الأدنى	الانحراف المعياري	المتوسط الحسابي	الحد الأعلى	الحد الأدنى	الانحراف المعياري	المتوسط الحسابي	
72	66	5.486	67.93	134	120	8.295	130	الזמן (بالأيام)

أظهرت نتائج اختبار ستيدينت للعينات المستقلة وجود فرق جوهرى إحصائياً بين المجموعتين بالنسبة للزمن اللازم لإنتهاء خطة المعالجة المفترضة (رفض القواعط السفلية المزدحمة دون قلع)، إذ كانت قيمة الاحتمالية الناتجة عنه ( $P-value < 0.05$ )، كما كان المتوسط الحسابي للزمن اللازم للمعالجة في المجموعة المدرستة أقل بـ 62 يوماً عن مثيله في المجموعة الشاهدة، الجدول رقم (6).

الجدول رقم (6): نتائج اختبار الجوهرية الإحصائية لفرق في متوسط الزمن اللازم لإنتهاء خطة المعالجة المفترضة  
(نصف القواطع السفلية المزدحمة دون قلع) (بالأيام) بين مجموعة الشاهدة

الجوهرية الإحصائية	قيمة P-value	قيمة t المحسوبة	الفرق بين المتroses	المجموعة المدروسة (N=20)		المجموعة الشاهدة (N=20)		المتغير المدروس
				الانحراف المعياري	المتوسط الحسابي	الانحراف المعياري	المتوسط الحسابي	
*	0.0001	66.50	62.066	5.486	67.93	8.295	130	الزمن (بالأيام)
Independent sample T-Test								
*: توجد فروق جوهرية إحصائية								

### Discussion المناقشة

يعتبر هذا البحث أول بحث قيم فعالية تطبيق التقبير العظمي الأصغرى في إنفاص الزمن اللازم لعلاج ازدحام القواطع السفلية (دون قلع) المعالجة بالراصفات الشفافة، وقد تبين من خلال النتائج أن هذا الإجراء الجراحى اختصر من المدة الزمنية اللازمة لإنجاز ذلك بمقدار 47.74 % مقارنة مع المجموعة الشاهدة (المعالجة بالراصفات الشفافة فقط). اختيرت في الدراسة الحالية حالات ازدحام القواطع السفلية متوسطة الشدة (4 – 6 ملم) والتي تتطلب معالجة دون قلع، إذ يعد الازدحام السنى أحد أشكال سوء الإطباق شيوعاً عند المرضى البالغين، والتي تدفعهم لطلب المعالجة التقويمية (Proffit et al., 2012; Thilander et al., 2001). كما تم الالتزام بمعايير الإدخال بدقة عند اختيار أفراد العينة مع التأكيد على ضرورة الالتزام بتعليمات الصحة الفموية والتعليمات المعطاة خلال المعالجة. بلغ متوسط عمر أفراد العينة ( $1.3 \pm 22.3$  سنة)، إذ ظُمن المرضى البالغون فقط في هذه الدراسة بحد أدنى من العمر (18 سنة)، وذلك لاستبعاد عامل النمو والتغيرات الاستقلابية الحاصلة على مستوى العظم السنخى عند المرضى اليافعين قبل سن البلوغ (Mavreas and Athanasiou, 2008)، والذي يعد عاملاً مشوشاً عند دراسة معدل الحركة السنوية، كما تم تجنب الأعمار الكبيرة جداً حيث بلغ الحد الأعلى لأعمار المرضى (26 سنة) لتجنب اختلاف الاستقلاب بين الأعمار الصغيرة والأعمار الكبيرة، وبذلك يكون النضج العظمي متقارباً بين مرضى عينة الدراسة (Alikhani et al., 2018; Alikhani et al., 2013). لم يكن هناك فرق جوهرى إحصائياً بين المجموعتين بالنسبة لكل من العمر، قيمة مشعر ليتل لعدم انتظامية القواطع السفلية قبل البدء بالمعالجة التقويمية، والخصائص العلاجية (عدد الراصفات الشفافة، ومقدار السحل المبنائي الملافق)، وبالتالي كانت كلتا المجموعتين متجانستين وقابلتين للمقارنة. تم الاعتماد على حيادية الراصفة الشفافة المطبقة – حيث تم الحكم على ذلك من خلال: غياب مظاهر الفقاعات الهوائية (Air bubbles) بين الأسنان والراصفة الشفافة، غياب مظاهر الفراغات القاطعية (Incisal gaps) بين الحدود القاطعة للأسنان والراصفة الشفافة، وعدم تطبيق الراصفة الشفافة أي ضغط على منطقة القواطع السفلية – كمعيار للانتقال للراصفة الشفافة التالية (Shibley et al., 2019; Kaur and El-Bialy, 2020; Dickerson, 2017). أوضح Dickerson عام 2017 أنه طالما يوجد اختلاف في معدل الحركة السنوية التقويمية بين الأفراد، فإن معدل تبديل الراصفة الشفافة يختلف بينهم أيضاً، نتيجةً لذلك أوجد خوارزمية التقييم الذاتي Self-assessment algorithm لتحديد معدل تبديل الراصفة الشفافة الأمثل لكل مريض. تقوم هذه الخوارزمية على استخدام استبيان يومي، بهدف إلى تقييم مقدار ضغط الراصفة الشفافة على الأسنان عبر مقاييس من ثلاثة نقاط، وعند وصول النتيجة إلى 1 (أدنى ضغط)، يطلب من

المريض الانتقال إلى الراصفة الشفافة التالية. فسر Dickerson اعتماده على مقدار ضغط الراصفة الشفافة على الأسنان الذي يتم تقييمه من قبل المريض لتحديد معدل تبديل الراصفة الشفافة الأمثل له، بأن عندما تتحرك الأسنان إلى مواضعها المبرمجة ضمن الراصفة، لن تطبق الراصفة الشفافة قوة (ضغط) بعد ذلك، وسوف يشعر المريض بضغط منخفض (Simon et al., 2014; Vardimon et al., 2010; Tanne et al., 1987). وأضاف Dickerson أنه يجب على أخصائي التقويم مراقبة تتبع الراصفة Monitored aligner tracking بشكل مستمر لمنع التبديل المبكر Premature switching لها (Dickerson, 2017). لذلك تم الاعتماد على عدم تطبيق الراصفة الشفافة أي ضغط على منطقة القواطع السفلية كأحد شروط حيادية الراصفة الشفافة في هذه الدراسة. وكما نعلم أن الحركة السنوية التقويمية باستخدام الراصفات الشفافة تعتمد على التقسيم المتدرج للحركة السنوية عبر استخدام سلسلة متتالية من الراصفات الشفافة، كل واحدة من هذه الراصفات تحرك الأسنان بمقادير بسيطة (Weir, 2017). إن إحدى الآليات المسئولة عن تحقيق هذه الحركة المتدرجة هي تأثير القولبة The shape molding effect: وهي الآلة الأساسية التي قامت عليها تقنية الراصفات الشفافة منذ نشأتها (Guan et al., 2017)، تعتمد هذه الآلة على تحريك الأسنان عبر قوليبتها إلى شكل جديد موافق لشكل الراصفة الشفافة المطبقة. فعند التطبيق الأولي للراصفة على الأسنان فإن مجموعة من القوى ثلاثية الأبعاد تطبق على سطوح الأسنان المماسة للراصفة ناتجة عن اختلاف توضع الأسنان ضمن الفم عن توضعها ضمن الراصفة الشفافة (Barone et al., 2017)، بينما لا تطبق الراصفة أي قوة على السطوح السنوية غير المتناسقة معها، حتى يتم التعبير الكامل عن الحركة المبرمجة ضمن الراصفة لتطبيق وتماس مع سطوح السن كاملة (Wheeler, 2017). لذلك تم الاعتماد على غياب مظهر الفقاعات الهوائية (Air bubbles) بين الأسنان والراصفة الشفافة (غياب هذا المظهر يدل على ملائمة الراصفة القاطعية Incisal gaps) بين الحدود القاطعة للأسنان والراصفة الشفافة (غياب هذا المظهر يدل على ملائمة الراصفة الشفافة على الأسنان، والأسنان أنجزت الحركة المختلط لها عبر هذه الراصفة) كإحدى شروط حيادية الراصفة الشفافة في هذه الدراسة. تمت متابعة مرضى كلتا المجموعتين يومياً ابتداءً من جلسة تطبيق أول راصفة شفافة عبر تطبيق Torsello et al., 2022; Li et al., (WhatsApp (Meta Platforms, Inc., Cambridge, MA, USA 2016; Vande Vannet and Gushchin, 2015 للأهداف التالية: تذكيرهم بضرورة الالتزام بارتداء الراصفة الشفافة 22 ساعة باليوم، وذلك ليكلا يكون تعاون المريض عاملاً مشوشاً يؤثر على نتائج الدراسة؛ ولتقييم غياب مظهر الفقاعات الهوائية والفراغات القاطعية بشكل يومي، بهدف ضبط وقت الانتقال للراصفة التالية، حيث لم يعط المرضى الراصفات ليقوموا بتبديلها بل توبعوا بشكل دوري ومكثف لتبديل الراصفات من قبل الباحثة بنفسها وذلك بعد التأكد من حيادية الراصفة الشفافة المطبقة قبل الانتقال للراصفة التالية، حيث تم الاعتماد على ذلك بناءً على المعلومات التالية: كما نعلم أن السيئة الأكبر المترافق مع المعالجة بالراصفات الشفافة هي الحاجة إلى التزام وتعاون المريض خلال المعالجة، فكون الراصفات قابلة للنزع، هذا يجعل نجاح المعالجة معتمداً بشكل كبير على الحافز الذاتي للمريض للالتزام بالأجهزة (Kim, 2013). يتأثر التزام المريض بوقت تطبيق الأجهزة القابلة للإزالة بعدة عوامل: عوامل متعلقة بالمريض (العمر، السمات الشخصية، أهمية المظهر الشخصي، والتصور الذاتي لسوء الإطباق)، عوامل مرتبطة بالجهاز (مرئي / غير مرئي، الألم، والانزعاج)، وعوامل متعلقة بالطبيب (الثقة، التواصل الواضح والكامل، والتحفيز) (Torsello et al., 2022). وُجُدَ أنه يمكن لطب الأسنان عن بعد Teledentistry (الاتصال عبر تطبيقات المراسلة مثل WhatsApp (Meta Platforms, Inc., Cambridge, MA, USA) أن يُحسن التزام المرضى بتطبيق الأجهزة، من خلال إرسال رسائل تذكيرية تحفظهم على ذلك (Torsello et al., 2022). أظهرت نتائج الدراسة الحالية فعالية التقييد العظمي الأصغرى في إنقاصل الزمن اللازم لعلاج ازدحام القواطع السفلية (دون قلع) المعالجة بالراصفات الشفافة، حيث استغرقت المعالجة (5.486±67.93) يوماً

في المجموعة المدروسة مقارنةً مع ( $130 \pm 8.295$ ) يوماً في المجموعة الشاهدة، مما يعني اختصار من المدة الزمنية اللازمة للمعالجة بمقدار %.47.74. يمكن أن تعزى هذه الفعالية إلى تحفيز ظاهرة التسريع الناجي Regional Acceleratory Phenomenon (RAP) الحاصلة بعد الرض الجراحي، وإلى تخفيف المقاومة الميكانيكية التي يبديها العظم القشرى لحركة الأسنان نتيجةً لإضعافه بالتقليب القشرى، كما أن إجراء ثقوب في العظم السنخي يحفز التعبير عن الواسمات الالتهابية Inflammatory markers، وزيادة السيتوكينات التي تؤدي لزيادة نشاط الخلايا الكاسرة للعظم، وبالتالي تسريع امتصاص العظم وتسريع معدل الحركة السننية، والذي يقود بدوره إلى إنفاص المدة الزمنية اللازمة للمعالجة (Frost, 1983; Wilcko et al., 2001; Alikhani et al., 2013; Baloul et al., 2011; Alikhani et al., 2010; Teixeira et al., 2015). نظراً لعدم وجود دراسات مماثلة قيمت فعالية تطبيق التقليب العظمي الأصغرى في إنفاص الزمن اللازم لعلاج ازدحام القواطع السفلية (دون قلع) المعالجة بالرacsفات الشفافة، فستتم مقارنة نتائج هذا البحث مع أبحاث قيمت فعالية تطبيق التقليب العظمي الأصغرى أو طرق تسريع جراحية قليلة الاجتياحية أخرى خلال علاج ازدحام القواطع السفلية (مع قلع، وبدون قلع)، وخلال علاج أنماط أخرى من سوء الإطباق في سياق المعالجة التقويمية بالجهاز الثابت. بعد مراجعة الأدبيات تبين أنه توجد مقالتان منشورتان (RCTs) اختبرتا فعالية التقليب العظمي الأصغرى Bansal في إنفاص الزمن اللازم لعلاج ازدحام القواطع السفلية (دون قلع) في سياق المعالجة التقويمية بالجهاز الثابت (Al-Attar et al., 2019; Al-Attar et al., 2022 Fahim et al., 2020) ، ومقالتان منشورتان (RCTs) اختبرتا فعالية الشق القشرى Corticision Sirri et al., 2018 في إنفاص الزمن اللازم لعلاج ازدحام القواطع السفلية (دون قلع) في سياق المعالجة التقويمية بالجهاز الثابت (Mehr, 2013) ، ومقالة منشورة Piezocision في إنفاص الزمن اللازم لعلاج ازدحام القواطع السفلية (دون قلع) في سياق المعالجة التقويمية بالجهاز اللاشرحي بالبيزو الثابت (Alfawal et al., 2018) ، ومقالة منشورة (RCTs) اختبرت فعالية القطع القشرى اللاشرحي بالبيزو في إنفاص الزمن اللازم لعلاج ازدحام القواطع السفلية (مع قلع) في سياق المعالجة التقويمية بالجهاز الثابت (Gibreal et al., 2019) ، ومقالة منشورة (RCTs) اختبرت فعالية القطع القشرى اللاشرحي بالبيزو في إنفاص الزمن اللازم لعلاج ازدحام القواطع السفلية في سياق المعالجة التقويمية بالجهاز الثابت (Alfawal et al., 2018) . اتفقنا مع كل من (Bansal et al., 2019; Al-Attar et al., 2022) من حيث أن التقليب العظمي الأصغرى اختصر جوهرياً المدة الزمنية اللازمة لعلاج ازدحام القواطع السفلية (دون قلع) مقارنةً مع المجموعة الشاهدة (المعالجة بالجهاز الثابت فقط)، لكن كانت هناك فروق في مقدار التسريع الحاصل بين الدراسة الحالية والدراستين السابقتين. حيث وجد Al-Attar وزملائه أن التقليب العظمي الأصغرى اختصر زمن المعالجة التقويمية بمقدار %37.7 مقابل %47.74 في الدراسة الحالية. بينما وجدت Bansal وزملائها أن التقليب العظمي الأصغرى اختصر زمن المعالجة التقويمية بمقدار %44 مقابل %47.74 في الدراسة الحالية. يمكن تفسير هذا التباين باختلاف المعالجة التقويمية المستخدمة لعلاج ازدحام القواطع السفلية (جهاز ثابت في دراسة Al-Attar وزملائه، جهاز ثابت في دراسة Bansal وزملائها، رacsفات شفافة في الدراسة الحالية)، اختلاف أعمار مرضى العينة المدروسة (18.97 سنة في دراسة Al-Attar وزملائه، 15.6 سنة في دراسة Bansal وزملائها، 22.3 سنة في الدراسة الحالية)، اختلاف الأداة المستخدمة لإنجاز التقليب وقطر الثقوب المنجزة (زريعة تقويمية بقطر 1.6 ملم في دراسة Al-Attar وزملائه، زريعة تقويمية بقطر 1.6 ملم في دراسة Bansal وزملائها، سنبلة إرشاد مكان الزرعة السننية بقطر 1.2 ملم في الدراسة الحالية)، اختلاف عدد الثقوب المنجزة (6 ثقوب في دراسة

Al-Attar وزملائه، 6 ثقوب في دراسة Bansal وزملائها، 14 ثقب في الدراسة الحالى)، واختلاف عمق الثقوب المنجزة 3 ملم في دراسة Al-Attar وزملائه، 1 ملم ضمن العظم القشرى في الدراسة الحالى). واتفقنا مع كل من ( Sirri et al., 2020; Fahim et al., 2020) من حيث أن الشق القشرى اختصر جوهرياً المدة الزمنية الازمة لعلاج ازدحام القواطع السفلية (دون قلع) مقارنةً مع المجموعة الشاهدة (المعالجة بالجهاز الثابت فقط)، لكن كانت هناك فروق في مقدار التسريع الحالى بين الدراسة الحالى والدراستين السابقتين. حيث وجد Sirri وزملائه أن الشق القشرى اختصر زمن المعالجة التقويمية بمقدار 27% مقابل 47.74% في الدراسة الحالى. بينما وجد Fahim وزملائه أن الشق القشرى اختصر زمن المعالجة التقويمية بمقدار 50% مقابل 47.74% في الدراسة الحالى. يمكن تفسير هذا التباين باختلاف الإجراء الجراحي المطبق (شق قشرى في دراسة Sirri وزملائه، شق قشرى في دراسة Fahim وزملائه، تثبيت عظمي أصغرى في الدراسة الحالى)، واختلاف المعالجة التقويمية المستخدمة لعلاج ازدحام القواطع السفلية (جهاز ثابت في دراسة Sirri وزملائه، جهاز ثابت في دراسة Fahim وزملائه، راصفات شفافة في الدراسة الحالى). واتفقنا مع (Gibreal et al., 2019) من حيث أن القطع القشرى اللاشرىحي بالبليزو اختصر جوهرياً المدة الزمنية الازمة لعلاج ازدحام القواطع السفلية (مع قلع) مقارنةً مع المجموعة الشاهدة (المعالجة بالجهاز الثابت فقط)، لكن كان هناك فرق في مقدار التسريع الحالى بين الدراسة الحالى والدراسة السابقة. حيث وجد Gibreal وزملائه أن القطع القشرى بالبليزو اختصر زمن المعالجة التقويمية بمقدار 59% مقابل 47.74% في الدراسة الحالى. يمكن تفسير هذا التباين باختلاف الإجراء الجراحي المطبق (قطع قشرى لاشرىحي بالبليزو في دراسة Gibreal وزملائه، تثبيت عظمي أصغرى في الدراسة الحالى)، اختلاف المعالجة التقويمية المستخدمة لعلاج ازدحام القواطع السفلية (جهاز ثابت في دراسة Gibreal وزملائه، راصفات شفافة في الدراسة الحالى)، واختلاف نوع المعالجة (مع قلع، أو بدون قلع) (مع قلع في دراسة Gibreal وزملائه، بدون قلع في الدراسة الحالى). واتفقنا مع (Alfawal et al., 2018) من حيث أن القطع القشرى اللاشرىحي بالبليزو اختصر جوهرياً المدة الزمنية الازمة لإرجاع الأنابيب العلوية مقارنةً مع المجموعة الشاهدة (المعالجة بالجهاز الثابت فقط)، لكن كان هناك فرق في مقدار التسريع الحالى بين الدراسة الحالى والدراسة السابقة. حيث وجدت Alfawal وزملائها أن القطع القشرى اللاشرىحي بالبليزو اختصر زمن المعالجة التقويمية بمقدار 25% مقابل 47.74% في الدراسة الحالى. لا يمكننا مقارنة نتائج الدراسة الحالى مع الدراسة السابقة نتيجةً لاختلاف نمط سوء الإطباق المعالج (إرجاع أنابيب علوية في دراسة Alfawal وزملائها، علاج ازدحام القواطع السفلية (دون قلع) في الدراسة الحالى)، اختلاف الإجراء الجراحي المطبق (قطع قشرى لاشرىحي بالبليزو في دراسة Alfawal وزملائها، تثبيت عظمي أصغرى في الدراسة الحالى)، واختلاف المعالجة التقويمية المستخدمة (جهاز ثابت في دراسة Alfawal وزملائها، راصفات شفافة في الدراسة الحالى). واتفقنا مع (Al-Imam et al., 2019) من حيث أن القطع القشرى اللاشرىحي بالبليزو اختصر جوهرياً المدة الزمنية الازمة لإرجاع القواطع الأربع العلوية مقارنةً مع المجموعة الشاهدة (المعالجة بالجهاز الثابت فقط)، لكن كان هناك فرق في مقدار التسريع الحالى بين الدراسة الحالى والدراسة السابقة. حيث وجد Al-Imam وزملائه أن القطع القشرى اللاشرىحي بالبليزو اختصر زمن المعالجة التقويمية بمقدار 27% مقابل 47.74% في الدراسة الحالى. لا يمكننا مقارنة نتائج الدراسة الحالى مع الدراسة السابقة نتيجةً لاختلاف نمط سوء الإطباق المعالج (إرجاع القواطع الأربع العلوية في دراسة Al-Imam وزملائه، علاج ازدحام القواطع السفلية (دون قلع) في الدراسة الحالى)، اختلاف الإجراء الجراحي المطبق (قطع قشرى لاشرىحي بالبليزو في دراسة Al-Imam وزملائه، تثبيت عظمي أصغرى في الدراسة الحالى)، واختلاف المعالجة التقويمية المستخدمة (جهاز ثابت في دراسة Al-Imam وزملائه، راصفات شفافة في الدراسة الحالى). واتفقنا مع (Alfawal et al., 2018) من حيث أن القطع القشرى اللاشرىحي بالبليزو اختصر جوهرياً المدة الزمنية الازمة لإرجاع الأنابيب العلوية مقارنةً مع المجموعة الشاهدة (المعالجة بالجهاز الثابت فقط)، لكن كان هناك فرق في مقدار التسريع الحالى بين الدراسة الحالى والدراسة

السابقة. حيث وجدت Alfawal وزملائها أن القطع القشري اللاشرحي بالليزر اختصر زمن المعالجة التقويمية بمقدار 25% مقابل 47.74% في الدراسة الحالية. لا يمكننا مقارنة نتائج الدراسة الحالية مع الدراسة السابقة نتيجةً لاختلاف نمط سوء الإطباق المعالج (إرجاع أنابيب علوية في دراسة Alfawal وزملائها، علاج ازدحام القواطع السفلية (دون قلع) في الدراسة الحالية)، اختلاف الإجراء الجراحي المطبق (قطع قشري للاشرحي بالليزر في دراسة Alfawal وزملائها، تثبيب عظمي أصغر في الدراسة الحالية)، واختلاف المعالجة التقويمية المستخدمة (جهاز ثابت في دراسة Alfawal وزملائها، راصفات شفافة في الدراسة الحالية).

وأختلفنا مع (Mehr, 2013) من حيث أنه لم يكن هناك فرق جوهري بين مجموعة القطع القشري اللاشرحي بالبيزو والمجموعة الشاهدة (المعالجة بالجهاز الثابت فقط) في اختصار المدة الزمنية الازمة لعلاج ازدحام القواطع السفلية (دون قلع)، فسرت Mehr ذلك بأن الرض الجراحي الناتج عن القطع القشري اللاشرحي بالبيزو كان غير كافي لتحفيز ظاهرة التسريع الناهي. يمكن أن يعزى الاختلاف بين نتيجة دراسة Mehr ونتيجة الدراسة الحالية إلى اختلاف الإجراء الجراحي المطبق (قطع قشري للاشرحي بالبيزو في دراسة Mehr، تثبيب عظمي أصغر في الدراسة الحالية)، واختلاف المعالجة التقويمية المستخدمة لعلاج ازدحام القواطع السفلية (جهاز ثابت في دراسة Mehr، راصفات شفافة في الدراسة الحالية). تمثل أهم محدوديات هذه الدراسة بعدم إمكانية تعميم كل من الباحثة والمريض حول الإجراء العلاجي المطبق. على أي حال فإن التوزيع العشوائي للمرضى مع إخفاء التخصيص عن الباحثة يخفف بشكل كبير جداً من أي تحيز محتمل للباحث أثناء تطبيق الإجراء العلاجي (Altman and Schulz, 2001).

### Conclusions الاستنتاجات

يعتبر التثبيب العظمي الأصغرى إجراء جراحي فعال في إنفاص الزمن اللازم لعلاج ازدحام القواطع السفلية (دون قلع) المعالجة بالراصفات الشفافة، حيث اختصر من المدة الزمنية الازمة لإنجاز ذلك بمقدار 47.74% مقارنةً مع المجموعة الشاهدة (المعالجة بالراصفات الشفافة فقط).

### Recommendations & Suggestions التوصيات والمقررات

- (1) نوصي بتطبيق التثبيب العظمي الأصغرى كإجراء جراحي فعال في إنفاص الزمن اللازم لعلاج ازدحام القواطع السفلية (دون قلع) المعالجة بالراصفات الشفافة عند البالغين الذين يرغبون بإنهاء معالجتهم بأسرع وقت ممكن.
- (2) نقترح إجراء دراسة سريرية مشابهة للدراسة الحالية لتحري تأثير الجنس (ذكور، إناث)، ومكان التطبيق (الفك العلوي، الفك السفلي) على مقدار التسريع الحاصل بالتقسيب العظمي الأصغرى في سياق المعالجة التقويمية بالراصفات الشفافة.
- (3) نقترح إجراء دراسة سريرية وشعاعية مشابهة للدراسة الحالية لتحري الاختلالات (الانحسار اللثوي، امتصاص العظم السنخي، امتصاص جذور الأسنان، وحيوية الأسنان) المرافقة لتطبيق التقسيب العظمي الأصغرى في سياق المعالجة التقويمية بالراصفات الشفافة.

### References المراجع

- 1) AL-ATTAR, A., NISSAN, L., ALMUZIAN, M. & ABID, M. 2022. Effect of mini-implant facilitated micro-osteoperforations on the alignment of mandibular anterior crowding: A randomised controlled clinical trial. *J Orthod*, 49, 379–387.
- 2) AL-IMAM, G. M. F., AJAJ, M. A., HAJEER, M. Y., AL-MDALAL, Y. & ALMASHAAL, E. 2019. Evaluation of the effectiveness of piezocision-assisted

- flapless corticotomy in the retraction of four upper incisors: A randomized controlled clinical trial. *Dent Med Probl*, 56, 385–394.
- 3) AL-KHALIFA, K. S. & BAESHEN, H. A. 2021. Micro-osteoperforations and Its Effect on the Rate of Tooth Movement: A Systematic Review. *Eur J Dent*, 15, 158–167.
  - 4) AL-NAOUM, F., HAJEER, M. Y. & AL-JUNDI, A. 2014. Does alveolar corticotomy accelerate orthodontic tooth movement when retracting upper canines? A split-mouth design randomized controlled trial. *J Oral Maxillofac Surg*, 72, 1880–9.
  - 5) ALANSARI, S., TEIXEIRA, C. C., SANGSUWON, C. & ALIKHANI, M. 2017. Introduction to Micro-osteoperforations. In: ALIKHANI, M. (ed.) *Clinical Guide to Accelerated Orthodontics: With a Focus on Micro-Osteoperforations*. Cham: Springer International Publishing.
  - 6) ALFAILANY, D. T., HAJEER, M. Y., AL-BITAR, M. I., ALSINO, H. I., JABER, S. T., BRAD, B. & DARWICH, K. 2023. Effectiveness of Flapless Cortico-Alveolar Perforations Using Mechanical Drills Versus Traditional Corticotomy on the Retraction of Maxillary Canines in Class II Division 1 Malocclusion: A Three-Arm Randomized Controlled Clinical Trial. *Cureus*, 15, e44190.
  - 7) ALFAWAL, A. M., HAJEER, M. Y., AJAJ, M. A., HAMADAH, O. & BRAD, B. 2016. Effectiveness of minimally invasive surgical procedures in the acceleration of tooth movement: a systematic review and meta-analysis. *Prog Orthod*, 17, 33.
  - 8) ALFAWAL, A. M. H., BURHAN, A. S., MAHMOUD, G., AJAJ, M. A., NAWAYA, F. R. & HANAFI, I. 2022. The impact of non-extraction orthodontic treatment on oral health-related quality of life: clear aligners versus fixed appliances—a randomized controlled trial. *Eur J Orthod*, 44, 595–602.
  - 9) ALFAWAL, A. M. H., HAJEER, M. Y., AJAJ, M. A., HAMADAH, O. & BRAD, B. 2018. Evaluation of piezocision and laser-assisted flapless corticotomy in the acceleration of canine retraction: a randomized controlled trial. *Head Face Med*, 14, 4.
  - 10) ALIKHANI, M., ALYAMI, B. A., LEE, I. S., ALMOAMMAR, S., VONGTHONGLEUR, T., ALIKHANI, M., ALANSARI, S., SANGSUWON, C., CHOU, M. Y., KHOO, E., BOSKEY, A. L. & TEIXEIRA, C. C. 2015. Saturation of the biological response to orthodontic forces and its effect on the rate of tooth movement. *Orthodontics & craniofacial research*, 18 Suppl 1, 8–17.
  - 11) ALIKHANI, M., CHOU, M. Y., KHOO, E., ALANSARI, S., KWAL, R., ELFERSI, T., ALMANSOUR, A., SANGSUWON, C., AL JEARAH, M. & NERVINA, J. M. 2018.

- Age-dependent biologic response to orthodontic forces. American Journal of Orthodontics and Dentofacial Orthopedics, 153, 632–644.
- 12) ALIKHANI, M., RAPTIS, M., ZOLDAN, B., SANGSUWON, C., LEE, Y. B., ALYAMI, B., CORPODIAN, C., BARRERA, L. M., ALANSARI, S., KHOO, E. & TEIXEIRA, C. 2013. Effect of micro-osteoperforations on the rate of tooth movement. Am J Orthod Dentofacial Orthop, 144, 639–48.
- 13) ALMOGBEL, A. 2023. Clear Aligner Therapy: Up to date review article. J Orthod Sci, 12, 37.
- 14) ALTMAN, D. G. & SCHULZ, K. F. 2001. Statistics notes: Concealing treatment allocation in randomised trials. Bmj, 323, 446–7.
- 15) BALOUL, S. S., GERSTENFELD, L. C., MORGAN, E. F., CARVALHO, R. S., VAN DYKE, T. E. & KANTARCI, A. 2011. Mechanism of action and morphologic changes in the alveolar bone in response to selective alveolar decortication-facilitated tooth movement. Am J Orthod Dentofacial Orthop, 139, S83–101.
- 16) BANSAL, M., SHARMA, R., KUMAR, D. & GUPTA, A. 2019. Effects of mini-implant facilitated micro-osteoperforations in alleviating mandibular anterior crowding: A randomized controlled clinical trial. J Orthod Sci, 8, 19.
- 17) BARONE, S., PAOLI, A., RAZIONALE, A. V. & SAVIGNANO, R. 2017. Computational design and engineering of polymeric orthodontic aligners. International journal for numerical methods in biomedical engineering, 33, e2839.
- 18) CASKO, J. S., VADEN, J. L., KOKICH, V. G., DAMONE, J., JAMES, R. D., CANGIALOSI, T. J., RIOLO, M. L., OWENS, S. E., JR. & BILLS, E. D. 1998. Objective grading system for dental casts and panoramic radiographs. American Board of Orthodontics. Am J Orthod Dentofacial Orthop, 114, 589–99.
- 19) DICKERSON, T. E. 2017. Invisalign with Photobiomodulation: Optimizing Tooth Movement and Treatment Efficacy with a Novel Self-Assessment Algorithm. J Clin Orthod, 51, 157–165.
- 20) EINI, E., MORADINEJHAD, M., CHAHARMAHALI, R. & RAHIM, F. 2022. The effect of micro-osteoperforations on the rate of orthodontic tooth movement in animal model: A systematic review and meta-analysis. J Oral Biol Craniofac Res, 12, 873–878.
- 21) FAHIM, F., EL SHARABY, F. & KANDIL, R. 2020. effects of corticision on orthodontic tooth movement a randomized controlled clinical trial. Egyptian dental journal, 64.

- 22)FROST, H. M. 1983. The regional acceleratory phenomenon: a review. *Henry Ford Hosp Med J*, 31, 3–9.
- 23)GANDEDKAR, N. H., DALCI, O. & DARENDELILER, M. A. 2024. Accelerated orthodontics (AO): The past, present and the future. *Seminars in Orthodontics*.
- 24)GIBREAL, O., HAJEER, M. Y. & BRAD, B. 2019. Efficacy of piezocision-based flapless corticotomy in the orthodontic correction of severely crowded lower anterior teeth: a randomized controlled trial. *Eur J Orthod*, 41, 188–195.
- 25)GIERIE, W. V. 2018. Clear aligner therapy: An overview. *J Clin Orthod*, 52, 665–674.
- 26)GRAF, I., PUPPE, C., SCHWARZE, J., HÖFER, K., CHRIST, H. & BRAUMANN, B. 2021. Evaluation of effectiveness and stability of aligner treatments using the Peer Assessment Rating Index. *J Orofac Orthop*, 82, 23–31.
- 27)GU, J., TANG, J. S., SKULSKI, B., FIELDS, H. W., JR., BECK, F. M., FIRESTONE, A. R., KIM, D. G. & DEGUCHI, T. 2017. Evaluation of Invisalign treatment effectiveness and efficiency compared with conventional fixed appliances using the Peer Assessment Rating index. *Am J Orthod Dentofacial Orthop*, 151, 259–66.
- 28)GUAN, X., CHANG, D. T., YAN, Y., ZHANG, Y. W., ZHOU, Y. H. & SONG, Y. 2017. [Clinical efficacy of clear aligners in treating bimaxillary protrusion]. *Zhonghua Kou Qiang Yi Xue Za Zhi*, 52, 549–553.
- 29)JABER, S. T., HAJEER, M. Y. & BURHAN, A. S. 2022a. The Effectiveness of In-house Clear Aligners and Traditional Fixed Appliances in Achieving Good Occlusion in Complex Orthodontic Cases: A Randomized Control Clinical Trial. *Cureus*, 14, e30147.
- 30)JABER, S. T., HAJEER, M. Y., BURHAN, A. S., ALAM, M. K. & AL-IBRAHIM, H. M. 2023a. Treatment effectiveness of young adults using clear aligners versus buccal fixed appliances in class I malocclusion with first premolar extraction using the ABO-Objective Grading System: A randomized controlled clinical trial. *Int Orthod*, 21, 100817.
- 31)JABER, S. T., HAJEER, M. Y., BURHAN, A. S. & LATIFEH, Y. 2022b. The Effect of Treatment With Clear Aligners Versus Fixed Appliances on Oral Health-Related Quality of Life in Patients With Severe Crowding: A One-Year Follow-Up Randomized Controlled Clinical Trial. *Cureus*, 14, e25472.
- 32)JABER, S. T., HAJEER, M. Y. & SULTAN, K. 2023b. Treatment Effectiveness of Clear Aligners in Correcting Complicated and Severe Malocclusion Cases

- Compared to Fixed Orthodontic Appliances: A Systematic Review. *Cureus*, 15, e38311.
- 33) JOHAL, A., ALYAQOOBI, I., PATEL, R. & COX, S. 2015. The impact of orthodontic treatment on quality of life and self-esteem in adult patients. *Eur J Orthod*, 37, 233–7.
- 34) KAUR, H. & EL-BIALY, T. 2020. Shortening of Overall Orthodontic Treatment Duration with Low-Intensity Pulsed Ultrasound (LIPUS). *Journal of Clinical Medicine*, 9, 1303.
- 35) KIM, S. J., PARK, Y. G. & KANG, S. G. 2009. Effects of Corticision on parodontal remodeling in orthodontic tooth movement. *Angle Orthod*, 79, 284–91.
- 36) LANTERI, V., FARRONATO, G., LANTERI, C., CARAVITA, R. & COSSELLU, G. 2018. The efficacy of orthodontic treatments for anterior crowding with Invisalign compared with fixed appliances using the Peer Assessment Rating Index. *Quintessence Int*, 49, 581–7.
- 37) LARENAS, J., FLORES, E., AGÜERO, I., VILLANUEVA, J. & DALLASERRA, M. 2023. Intervenciones quirúrgicas mínimamente invasivas complementarias a la ortodoncia quirúrgicamente asistida: Resumen estructurado de evidencia. *International journal of interdisciplinary dentistry*, 16, 89–96.
- 38) LI, X., XU, Z.-R., TANG, N., YE, C., ZHU, X.-L., ZHOU, T. & ZHAO, Z.-H. 2016. Effect of intervention using a messaging app on compliance and duration of treatment in orthodontic patients. *Clinical oral investigations*, 20, 1849–1859.
- 39) LITTLE, R. M. 1975. The irregularity index: a quantitative score of mandibular anterior alignment. *Am J Orthod*, 68, 554–63.
- 40) LÖE, H. 1967. The Gingival Index, the Plaque Index and the Retention Index Systems. *J Periodontol*, 38, Suppl:610–6.
- 41) MAVREAS, D. & ATHANASIOU, A. E. 2008. Factors affecting the duration of orthodontic treatment: a systematic review. *Eur J Orthod*, 30, 386–95.
- 42) MEHR, R. 2013. Efficiency of piezotome-corticision assisted orthodontics in alleviating mandibular anterior crowding—a randomized controlled clinical trial.
- 43) MOYA, S. P. & ZAFRA, J. L. 2021. Aligner Techniques in Orthodontics, Wiley.
- 44) NIMERI, G., KAU, C. H., ABOU-KHEIR, N. S. & CORONA, R. 2013. Acceleration of tooth movement during orthodontic treatment—a frontier in orthodontics. *Prog Orthod*, 14, 42.
- 45) PANDIS, N., POLYCHRONOPOULOU, A. & ELIADES, T. 2007. Self-ligating vs conventional brackets in the treatment of mandibular crowding: a prospective

- clinical trial of treatment duration and dental effects. Am J Orthod Dentofacial Orthop, 132, 208–15.
- 46)PROFFIT, W. R., FIELDS JR, H. W. & SARVER, D. M. 2012. Contemporary Orthodontics, 5e, Elsevier India.
- 47)RAGHAV, P., KHERA, A. K. & BHASIN, P. 2021. Effect of micro-osteoperforations on rate of space closure by mini-implant supported maxillary anterior en-masse retraction: A randomized clinical trial. J Oral Biol Craniofac Res, 11, 185–191.
- 48)RAJ, S. & RAJASEKARAN, A. 2021. Evaluation of physiodispenser assisted micro-osteoperforation on the rate of tooth movement and associated periodontal tissue status during individual canine retraction in first premolar extraction cases: A split-mouth randomized controlled clinical trial. Journal of the World Federation of Orthodontists, 10.
- 49)SACCOMANNO, S., SARAN, S., LAGANÀ, D., MASTRAPASQUA, R. F. & GRIPPAUDO, C. 2022. Motivation, Perception, and Behavior of the Adult Orthodontic Patient: A Survey Analysis. BioMed Research International, 2022, 2754051.
- 50)SALIM, N. A., ALAMOUSH, R. A., AL-ABDALLAH, M. M., AL-ASMAR, A. A. & SATTERTHWAITE, J. D. 2021. Relationship between dental caries, oral hygiene and malocclusion among Syrian refugee children and adolescents: a cross-sectional study. BMC Oral Health, 21, 629.
- 51)SANGSUWON, C., ALANSARI, S., LEE, Y. B., NERVINA, J. & ALIKHANI, M. 2017. Step-by-Step Guide for Performing Micro-osteoperforations. In: ALIKHANI, M. (ed.) Clinical Guide to Accelerated Orthodontics: With a Focus on Micro-Osteoperforations. Cham: Springer International Publishing.
- 52)SHAHABEE, M., SHAFAAEE, H., ABTAHI, M., RANGRAZI, A. & BARDIDEH, E. 2020. Effect of micro-osteoperforation on the rate of orthodontic tooth movement—a systematic review and a meta-analysis. Eur J Orthod, 42, 211–221.
- 53)SHIPLEY, T., FAROUK, K. & EL-BIALY, T. 2019. Effect of high-frequency vibration on orthodontic tooth movement and bone density. J Orthod Sci, 8, 15.
- 54)SIMON, M., KEILIG, L., SCHWARZE, J., JUNG, B. A. & BOURAUEL, C. 2014. Forces and moments generated by removable thermoplastic aligners: incisor torque, premolar derotation, and molar distalization. Am J Orthod Dentofacial Orthop, 145, 728–36.

- 55) SIRRI, M. R., BURHAN, A. S., HAJEER, M. Y. & NAWAYA, F. R. 2021. Evaluation of corticision-based acceleration of lower anterior teeth alignment in terms of root resorption and dehiscence formation using cone-beam computed tomography in young adult patients: A randomized controlled trial. *Int Orthod*, 19, 580–590.
- 56) SIRRI, M. R., BURHAN, A. S., HAJEER, M. Y., NAWAYA, F. R. & ABDULHADI, A. 2020. Efficiency of Corticision in Accelerating Leveling and Alignment of Crowded Lower Anterior Teeth in Young Adult Patients: A Randomised Controlled Clinical Trial. *JOURNAL OF CLINICAL AND DIAGNOSTIC RESEARCH*.
- 57) SUGIMORI, T., YAMAGUCHI, M., SHIMIZU, M., KIKUTA, J., HIKIDA, T., HIKIDA, M., MURAKAMI, Y., SUEMITSU, M., KUYAMA, K. & KASAI, K. 2018. Micro-osteoperforations accelerate orthodontic tooth movement by stimulating periodontal ligament cell cycles. *Am J Orthod Dentofacial Orthop*, 154, 788–796.
- 58) TAI, S. 2018. *Clear Aligner Technique*, Quintessence Publishing Company, Incorporated.
- 59) TALIC, N. F. 2011. Adverse effects of orthodontic treatment: A clinical perspective. *Saudi Dent J*, 23, 55–9.
- 60) TAMER, İ., ÖZTAŞ, E. & MARŞAN, G. 2019. Orthodontic Treatment with Clear Aligners and The Scientific Reality Behind Their Marketing: A Literature Review. *Turk J Orthod*, 32, 241–246.
- 61) TANNE, K., SAKUDA, M. & BURSTONE, C. J. 1987. Three-dimensional finite element analysis for stress in the periodontal tissue by orthodontic forces. *Am J Orthod Dentofacial Orthop*, 92, 499–505.
- 62) TEIXEIRA, C. C., KHOO, E., TRAN, J., CHARTRES, I., LIU, Y., THANT, L. M., KHABENSKY, I., GART, L. P., CISNEROS, G. & ALIKHANI, M. 2010. Cytokine expression and accelerated tooth movement. *J Dent Res*, 89, 1135–41.
- 63) THILANDER, B., PENA, L., INFANTE, C., PARADA, S. S. & DE MAYORGA, C. 2001. Prevalence of malocclusion and orthodontic treatment need in children and adolescents in Bogota, Colombia. An epidemiological study related to different stages of dental development. *The European Journal of Orthodontics*, 23, 153–168.
- 64) TIMM, L. H., FARRAG, G., BAXMANN, M. & SCHWENDICKE, F. 2021. Factors Influencing Patient Compliance during Clear Aligner Therapy: A Retrospective Cohort Study. *J Clin Med*, 10.

- 65)TORSELLO, F., D'AMICO, G., STADERINI, E., MARIGO, L., CORDARO, M. & CASTAGNOLA, R. 2022. Factors Influencing Appliance Wearing Time during Orthodontic Treatments: A Literature Review. *Applied Sciences*, 12, 7807.
- 66)URIIBE, F., PADALA, S., ALLAREDDY, V. & NANDA, R. 2014. Patients', parents', and orthodontists' perceptions of the need for and costs of additional procedures to reduce treatment time. *American Journal of Orthodontics and Dentofacial Orthopedics*, 145, S65-S73.
- 67)VANDE VANNET, B. & GUSHCHIN, V. 2015. ORTHODONTIC TREATMENT MONITORING USING SMARTPHONE.
- 68)VARDIMON, A. D., ROBBINS, D. & BROSH, T. 2010. In-vivo von Mises strains during Invisalign treatment. *Am J Orthod Dentofacial Orthop*, 138, 399–409.
- 69)WEIR, T. 2017. Clear aligners in orthodontic treatment. *Aust Dent J*, 62 Suppl 1, 58–62.
- 70)WHEELER, T. T. Orthodontic clear aligner treatment. *Seminars in Orthodontics*, 2017. Elsevier, 83–89.
- 71)WILCKO, W. M., WILCKO, T., BOUQUOT, J. E. & FERGUSON, D. J. 2001. Rapid orthodontics with alveolar reshaping: two case reports of decrowding. *Int J Periodontics Restorative Dent*, 21, 9–19.
- 72)YAVUZ, M. C., SUNAR, O., BUYUK, S. K. & KANTARCI, A. 2018. Comparison of piezocision and discision methods in orthodontic treatment. *Prog Orthod*, 19, 44.